

Maximal non-branching paths approach to solve (sub)graph isomorphism problem

Abstract

An approach based on maximal non-branching paths analysis to solve graph isomorphism problem is introduced; an algorithm to solve the particular case of the problem of finding in a some graph A all subgraphs that are isomorphic to given graph B (can be found "inscribed" subgraphs only) is given.

Here we shall name a subgraph of some given graph A as "inscribed" if (1) this subgraph is "glued" to other parts of A only by edges that connected to vertices of this subgraph those are begin/ end ones of any max-length non-branching path of this subgraph and/ or (2) graph A may have some other connected components.

These approach and algorithm may be implemented to:

- directed or undirected graphs,
- graphs that have more than one connected components/ strongly connected components,
- graphs that contain multiple edges.

Key words

Subgraph isomorphism, subgraph isomorphism problem, graph isomorphism, "inscribed" subgraph, subgraph isomorphism algorithm, graph isomorphism algorithm.

С.А. Черноухов
Санкт-Петербург, РФ
chernouhov@rambler.ru

Проверка изоморфности двух графов и поиск изоморфных «вписанных» подграфов: подход, основанный на анализе максимально протяженных неразветвляющихся путей

Аннотация

Предложен подход к решению проблемы проверки изоморфности двух графов исходя из анализа их максимально протяженных неразветвляющихся путей. На его основе предлагается подход и алгоритм решения частного случая задачи поиска в некотором графе А всех подграфов, изоморфных заданному графу В (а именно, поиск только «вписанных» подграфов), а также определяется само понятие «вписанного» подграфа.

«Вписанным» подграфом графа А здесь называется такой его подграф, который может быть «приклешен» к другим частям графа А только за счет ребер, инцидентных лишь

граничным вершинам его (подграфа) неразветвляющихся путей максимальной длины (при этом граф А может содержать и иные компоненты связности).

Предложенные подход и алгоритм применимы:

- как для ориентированных, так и для неориентированных графов,
- для графов, содержащих более одной компоненты связности/ сильной связности,
- для графов, содержащих кратные (множественные) ребра.

Ключевые слова

Изоморфизм графов, задача поиска изоморфного подграфа, подграф, «вписанный» подграф, алгоритм проверки изоморфности графов, алгоритм поиска изоморфного подграфа.

1. Общие сведения. Идея подхода, его преимущества и ограничения

Задача проверки гипотезы изоморфности двух графов, и, шире, – поиска в заданном графе А всех подграфов, изоморфных некоторому данному графу В, актуальна для различных областей, в т.ч. для хемоинформатики и вычислительной химии (поиск химических соединений по «шаблону»), решения задачи «сопоставления с образцом», и т.д.

Классическим подходом к решению данной задачи является «умный перебор» возможных соответствий вершин графа-образца В и графа А, в котором идет его поиск. Основной задачей при этом является максимально возможно более раннее отсечение заведомо неподходящих вариантов, для чего вводятся различные необходимые условия и ограничения, а также может проводиться различная предварительная обработка исходных данных.

Основа классического подхода была заложена Дж. Ульманом в 1976 году [3]; впоследствии данный алгоритм был существенно обновлен его автором [4]. Классический подход также получил свое развитие в работах Корделлы и соавторов [2] (алгоритм VF2), Бонници и соавторов [1] (алгоритм RI), и др.

В то же время, к решению задачи установления изоморфизма двух графов и, отчасти, поиска подграфа в графе по образцу можно подойти и с другой стороны. Действительно, если **два графа изоморфны друг другу**, то для любого представления первого графа в виде **последовательности максимально протяженных неразветвляющихся путей (maximal non-branching paths)** всегда существует соответствующее ему такое же представление второго графа, и при этом:

- для ориентированных графов соответствующие друг другу пути будут сонаправлены,
- степени соответствующих друг другу вершин для неориентированных графов (а для ориентированных – количества входящих и исходящих ребер соответственно) будут равны,
- при «совмещении» таких представлений в результате мы будем иметь соответствие вершин первого и второго графов.

Пример. Граф А = {1->2, 1->6, 4->5, 5->1, 3->3}. Граф В = {3->4, 3->5, 1->2, 2->3, 6->6}

PathsA (*maximal non-branching paths of A*): 1->2, 1->6, 4->5->1, 3->3

PathsB (*maximal non-branching paths of B*): 3->4, 3->5, 1->2->3, 6->6

Соответствие вершин: 1(A):3(B), 2(A):4(B), 6(A):5(B), 4(A):1(B), 5(A):2(B), 3(A):6(B).

Таким образом, задачу проверки изоморфизма двух графов можно решить нахождением таких соответствующих друг другу путей и, затем, проверкой равенства друг другу матриц смежности, построенных исходя их сохранения порядка вершин в полученных последовательностях путей (при этом каждая вершина добавляется в порядок следования единожды, при ее первом «упоминании»). В нашем примере для построения матриц смежности будут использоваться следующие порядки вершин:

A: 1, 2, 6, 4, 5, 3

B: 3, 4, 5, 1, 2, 6

Матрица смежности для А для заданного порядка вершин:

Номера вершин	1	2	6	4	5	3
1	0	1	1	0	0	0
2	0	0	0	0	0	0
6	0	0	0	0	0	0
4	0	0	0	0	1	0
5	1	0	0	0	0	0
3	0	0	0	0	0	1

Матрица смежности для В для заданного порядка вершин:

Номера вершин	3	4	5	1	2	6
3	0	1	1	0	0	0
4	0	0	0	0	0	0
5	0	0	0	0	0	0
1	0	0	0	0	1	0
2	1	0	0	0	0	0
6	0	0	0	0	0	1

Матрицы равны, следовательно, графы А и В – изоморфны.

Разумеется, данный подход будет иметь свои преимущества и ограничения.

Преимущества:

- Применим как для ориентированных, так и неориентированных графов,
- Применим для графов, содержащих более одной компоненты связности/ сильной связности,
- Применим для графов, содержащих кратные (множественные) ребра и петли.

Ограничения:

- Не учитывает вершины, для которых отсутствуют инцидентные им ребра,
- Применение данного подхода для поиска подграфов графа А, изоморфных некоторому графу В, сможет находить лишь **«вписанные» подграфы**. **«Вписаным» подграфом графа А** здесь называется такой его подграф, который может быть «приклеен» к другим частям графа А только за счет ребер, инцидентных лишь граничным вершинам его (подграфа) неразветвляющихся путей максимальной длины (при этом граф А может содержать и иные компоненты связности).

При решении задачи поиска в графе А всех его «вписанных» подграфов, изоморфных графу В, помимо поиска соответствий максимально протяженных неразветвляющихся путей графов А и В по длине, также необходимо отдельно искать и следующие возможные соответствия между ними:

- Соответствия максимально протяженных неразветвляющихся путей-простых цепей графа В максимально протяжеными неразветвляющимся путями-простыми цепями либо простым циклами графа А. При этом изначально такие пути из графа А могут быть длиннее – в этом случае берутся их отрезки, равные по длине искомому пути из В.
- Соответствия максимально протяженных неразветвляющихся «концевых» путей графа В (т.е. таких, одна и только одна из граничных вершин которого соединена (причем независимо от направления такой связи, если граф – ориентированный) с одной и только одной другой вершиной графа В) каким-либо максимально протяженным неразветвляющимся путем графа А (при этом пути из графа А также могут быть длиннее – в этом случае берутся их отрезки, равные по длине искомому пути из графа В).

Пример.

При поиске «вписанного» изоморфного подграфа графа В в графе А (см. рис. 1) будут обнаружены следующие соответствия:

- внутренний путь 2->3->4 графа В: внутренний путь 2->3->4 графа А,
- концевые пути 1->2 и 10->2 графа В: концевой путь 0->2 графа А и фрагмент концевого пути 7->1->2 графа А, а именно 1->2,
- простая цепь 7->8 графа В: отрезки простой цепи 9->10->11 графа А, а именно 9->10 и 10->11, а также отрезки простого цикла 12->13->14->12 графа А, а именно 12->13, 13->14, и 14->12.

Таким образом, в качестве «изоморфных» графу В «вписанных» подграфов графа А могут быть найдены следующие 5 вариантов:

$$\begin{aligned}A1 &= \{0 \rightarrow 2, 1 \rightarrow 2, 2 \rightarrow 3, 3 \rightarrow 4, 4 \rightarrow 5, 4 \rightarrow 6, 9 \rightarrow 10\} \\A2 &= \{0 \rightarrow 2, 1 \rightarrow 2, 2 \rightarrow 3, 3 \rightarrow 4, 4 \rightarrow 5, 4 \rightarrow 6, 10 \rightarrow 11\} \\A3 &= \{0 \rightarrow 2, 1 \rightarrow 2, 2 \rightarrow 3, 3 \rightarrow 4, 4 \rightarrow 5, 4 \rightarrow 6, 12 \rightarrow 13\} \\A4 &= \{0 \rightarrow 2, 1 \rightarrow 2, 2 \rightarrow 3, 3 \rightarrow 4, 4 \rightarrow 5, 4 \rightarrow 6, 13 \rightarrow 14\} \\A5 &= \{0 \rightarrow 2, 1 \rightarrow 2, 2 \rightarrow 3, 3 \rightarrow 4, 4 \rightarrow 5, 4 \rightarrow 6, 14 \rightarrow 12\}\end{aligned}$$

Однако, исходя из ограничений данного метода, при добавлении к графу А дополнительного ребра 3->8 (см. граф А' на том же рисунке) «вписаные» изоморфные графу В подграфы не будут найдены: ребро 3->8 «разбивает» путь 2->3->4 графа А на два и, следовательно, путей-кандидатов для внутреннего пути 2->3->4 графа В обнаружено не будет.

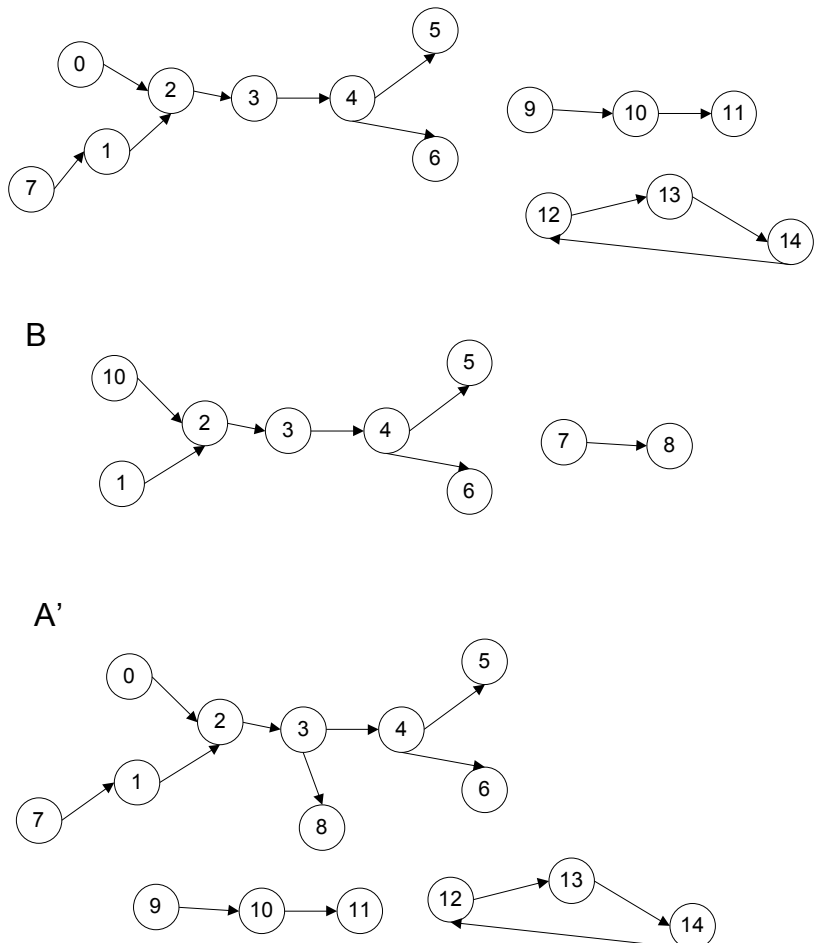


Рис. 1

2. Описание алгоритма поиска изоморфных «вписанных» подграфов

Исходя из сказанного в разделе 1, общее описание алгоритма поиска «вписанных» в граф А подграфов, изоморфных некоторому графу В, будет выглядеть следующим образом.

I. Препроцессинг

Формирование всех неразветвляющихся путей максимальной длины путей по каждому из графов, а также оценка факторов, ограничивающих пространство выбора при переборе, а именно:

1. Нахождение всех максимальных неразветвляющихся путей в графе А и запись их в динамический массив (вектор) PathsA
2. Нахождение всех максимальных неразветвляющихся путей в графе В и запись их в динамический массив (вектор) PathsB

3. Вычисление и запоминание кратности всех ребер графов А и В. Дальнейшие действия по этапам II-IV проводятся исходя из допущения, что кратности всех ребер равны 1. Однако на финальной стадии производится сравнение кратности ребер подграфа графа А-кандидата на изоморфизму с графом В и кратности ребер самого графа В: все ребра подходящего графа-кандидата должны иметь кратность не меньшую, чем сопоставляемое им ребро графа В.
4. Подсчет степеней всех вершин графов А и В (для ориентированных графов степени по входящим и исходящим ребрам учитываются отдельно).
5. Вычисление матриц кратчайших путей между каждой парой вершин в А и в В: DA и DB соответственно.
6. Формирование матрицы смежности B00 для графа В в порядке, указанном в разделе 1, исходя из очередности путей в PathsB.

II. Сопоставление

Поиск путей-кандидатов из PathsA для каждого из путей в PathsB. Отметка о каждом пути-кандидате из PathsA для каждого i-го пути PathsB[i] будет записываться в двумерный динамический массив (вектор векторов) NPaths – соответственно в i-й вектор (i-ю строку) – в виде упорядоченного триплета чисел: номер соответствующего пути в PathsA – номер стартовой позиции в нем – длина пути.

Например, PathsB[2] = {1, 0, 3, 3, 1, 3} означает, что пути PathsB[2] сопоставлено 2 пути-кандидата из А: из PathsA[1] – 3 первых элемента пути начиная с нулевого (начального), и из PathsA[3] – также 3 элемента начиная с первого (следующего за начальным).

При этом поиск путей-кандидатов проводится по 4-м направлениям:

1. Поиск путей-кандидатов для всех внутренних путей графа В из PathsB, т.е. тех, обе граничные вершины которых соединены в графе В как минимум с 2-мя другими вершинами (независимо от направления такой связи) и при этом такой путь не является простым циклом (ориентированным – для ориентированных графов).
2. Поиск путей-кандидатов для концевых путей из PathsB.
3. Поиск путей-кандидатов для простых циклов из PathsB.
4. Поиск путей-кандидатов для простых цепей из PathsB.

При отборе путей-кандидатов для каждого i-го пути из PathsB сравниваются:

- его длина и длина пути-кандидата (должны быть равны для случаев 1 и 3, а для случаев 2 и 4 путь-кандидат из PathsA также может быть длиннее),
- степени его граничных вершин и соответствующих им вершин пути-кандидата (у вершин из пути-кандидата данные значения должны быть не менее чем у пути из PathsB).

Если по результатам этапа II для какого-либо из путей в PathsB не найдено ни одного пути-кандидата из PathsA, то считается, что А не содержит «вписанных» подграфов, изоморфных графу В.

Предварительное прореживание

На основании всех отобранных путей-кандидатов обновляется граф А – в нем остаются только те ребра, которые вошли в пути-кандидаты. Если хотя бы одно ребро исходного графа было удалено – осуществляется возврат на этап I “Препроцессинг”: степени вершин графа А и, соответственно, перечень путей-кандидатов может быть уменьшен и, соответственно, может быть сокращено пространство поиска.

III. Прореживание перечня путей-кандидатов

Целью настоящего этапа является максимально возможное исключение неподходящих путей кандидатов до их полного перебора. Для этого осуществляются следующие действия.

1. Исключение заведомо неподходящих путей-кандидатов исходя из минимальных расстояний между вершинами в графе В. Исключению подлежит тот путь-кандидат по каждому $\text{PathsB}[i]$, для которого хотя бы по одному $\text{PathsB}[j]$ не нашлось ни одного такого пути-кандидата, чтобы кратчайшие расстояния между их граничными вершинами в графе А было меньше или равно кратчайшему расстоянию между соответствующими им граничными вершинами путей $\text{PathsB}[i]$ и $\text{PathsB}[j]$ из графа В.

2. Исключение для всех циклов из PathsB сопоставленных им нециклических путей-кандидатов и наоборот.

3. Аналогичное п. 1 исключение путей-кандидатов, но не по критерию кратчайшего расстояния между граничными вершинами, а их (граничных вершин) взаимному равенству либо неравенству.

Например, если:

- начальный элемент пути $\text{PathsB}[i]$ не равен начальному элементу пути $\text{PathsB}[j]$, и
- конечный элемент пути $\text{PathsB}[i]$ не равен конечному элементу пути $\text{PathsB}[j]$, и
- начальный элемент пути $\text{PathsB}[i]$ равен конечному элементу пути $\text{PathsB}[j]$, и
- начальный элемент пути $\text{PathsB}[j]$ не равен конечному элементу пути $\text{PathsB}[i]$,

то исключению подлежит тот путь-кандидат по пути $\text{PathsB}[i]$, для которого хотя бы по одному $\text{PathsB}[j]$ не нашлось ни одного пути-кандидата, удовлетворяющего приведенному выше условию относительно равенства/ неравенства соответственно их (путей-кандидатов) начальных и конечных вершин.

Если по результатам этапа III хотя бы 1 путь-кандидат был удален из PathsA , то обновляется граф А – в нем остаются только те ребра, которые вошли в оставшиеся пути-кандидаты. Если при этом хотя бы одно ребро исходного графа А было удалено – возврат на этап I “Препроцессинг”: степени вершин графа А и, соответственно, перечень путей-кандидатов может быть уменьшен и, соответственно, может быть сокращено пространство поиска.

IV. Заключение

Каждое возможное сочетания всех оставшихся путей-кандидатов задает подграф графа А. Для каждого такого подграфа строится матрица смежности с учетом порядка следования путей кандидатов таким же образом, как была построена матрица смежности $B00$ для графа В, а затем эти матрицы сравниваются между собой.

Если они равны, то сравниваются кратности ребер (см. п. 3 Этапа I Препроцессинг). Если все эти условия выполнены – найденный подграф считается изоморфным графу В и добавляется в множество найденных результатов.

При проведении этапа IV “Заключение” возможно применение различных дополнительных проверок, ускоряющих выявление и отбрасывание неподходящего подграфа.

3. Пример результатов работы алгоритма

На рис. 2 приведены графы $A = \{1->2, 2->5, 5->15, 16->15, 5->5, 5->5, 5->4, 5->6, 7->6, 6->8, 6->6, 6->9, 9->10, 9->11, 12->0, 0->12, 4->13, 13->14, 14->4\}$ и $B = \{1->1, 4->5, 5-$

$>1, 1\rightarrow 3, 3\rightarrow 2, 2\rightarrow 7, 2\rightarrow 8, 9\rightarrow 10, 10\rightarrow 9, 1\rightarrow 6, 6\rightarrow 11, 11\rightarrow 12, 12\rightarrow 6\}$. Задачей является нахождение в графе А всех «вписанных» подграфов, изоморфных графу В. Результат также отражен на рисунке: найденные вершины и ребра графа А выделены толстой линией, а номера соответствующих вершин графа В указаны в скобках (если вариантов несколько – они указываются через дробь).

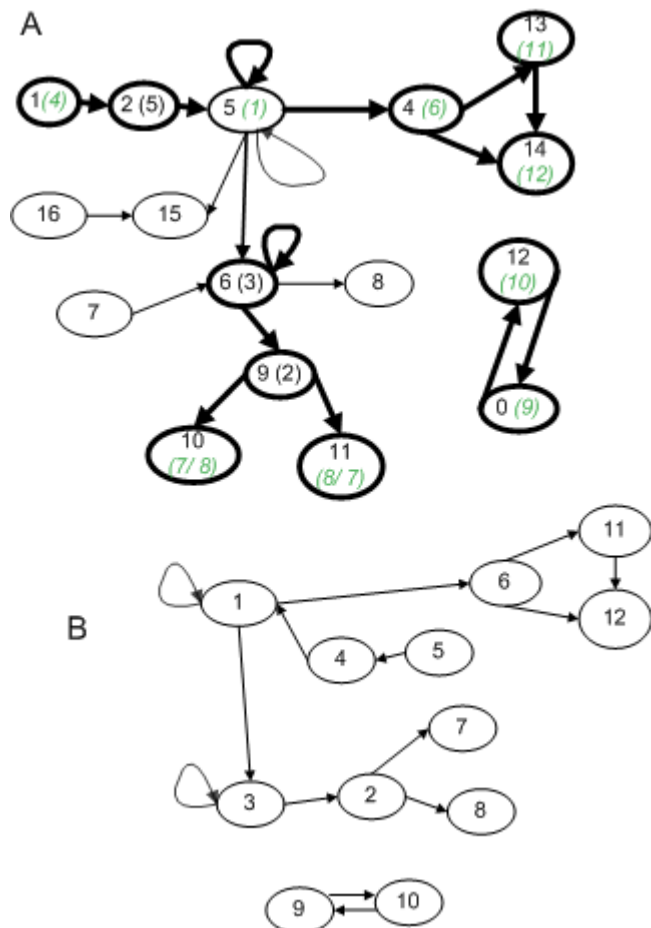


Рис. 2

При решении задачи поиска в графе А «вписанных» подграфов, изоморфных графу В, имеем следующие результаты работы алгоритма.

Этап I: Выполнены все действия и расчеты по п.п. 1-5 данного этапа, ниже приводятся полученные PathsA и PathsB.

PathsA:

1->2->5
4->13->14 4
5->4
5->5
5->6
5->15

6->6
6->8
6->9
7->6
9->10
9->11
16->15
0->12->0

PathsB:

1->1
1->3
1->6
2->7
2->8
3->2
3->3
4->5->1
6->11->12->6
9->10->9

Этапы II-III. Сопоставление показало, что для каждого пути из PathsA находится как минимум один путь-кандидат из PathsB, а по результатам предварительного прореживания PathsA был сокращен. На этапе основного прореживания (III) дальнейшего сокращения PathsA не произошло. В результате PathsA и PathsB приняли вид:

PathsA:

1->2->5
4->13->14->4
5->4
5->5
5->6
6->6
6->9
9->10
9->11
0->12->0

PathsB:

1->1
1->3
1->6
2->7
2->8
3->2
3->3

4->5->1
6->11->12->6
9->10->9

Итоговое сопоставление NPaths имеет вид:

NPaths:

i=0: 3 0 2
i=1: 4 0 2
i=2: 2 0 2
i=3: 7 0 2 8 0 2
i=4: 7 0 2 8 0 2
i=5: 6 0 2
i=6: 5 0 2
i=7: 0 0 3
i=8: 1 0 4
i=9: 9 0 3

Каждый упорядоченный тройка чисел в NPaths[i] задает соответствующий PathsB[i] путь-кандидат из А в формате: номер соответствующего пути из PathsA – стартовая позиция отрезка из данного пути – длина отрезка. Таким образом, нетрудно убедиться, что пути PathsB[0] = {1->1} (i=0: 3 0 2) соответствует единственный путь из А, а именно: отрезок из пути PathsA[3], начинающийся с его самого начала и имеющий длину 2.

Этап IV. В результате в графе А был найден единственный подграф A1, изоморфный графу В. A1 = {0->12, 1->2, 2->5, 4->13, 5->4, 5->5, 5->6, 6->6, 6->9, 9->10, 9->11, 12->0, 13->14, 14->4}.

4. Область применения и пути дальнейшего развития алгоритма

При введении дополнительных признаков вершин графов А и В (например, при задании графами химических соединений каждой вершине может быть сопоставлен числовой код, соответствующий одному и только одному атому (изотопу)) процесс поиска может быть ускорен за счет большей точности сопоставлений по Этапу II: дополнительным условием отбора путей-кандидатов будет соответствие меток вершин.

Скорость работы представленного алгоритма очень сильно зависит от структур исходных графов и их взаимного соответствия. Алгоритм будет работать тем быстрее, чем более «универсальную», «нестандартную» и несимметричную структуру имеет граф-образец В.

Исходя из этого, одним из возможных путей использования представленного алгоритма может являться, *в том числе, «скрининговый» поиск решения* по любому из возможных направлений его применения, а именно:

- (1) поиск именно «вписанных» подграфов, изоморфных данному,
- (2) проверка изоморфности двух различных графов.

«Скрининг» здесь подразумевает «предварительный экспресс-поиск решения», для чего необходимо задать некоторое предельное время его работы, по истечении которого при отсутствии результата можно считать, что данная задача подлежит решению другим алгоритмом.

Дополнительно о реализации алгоритма. Автором была предпринята попытка реализации данного алгоритма на языке C++: функция SubGraphsInscribed добавлена в свободно распространяемую библиотеку с открытым исходным кодом CBioInfCpp [6].

Примечания.

1. Данная библиотека содержит набор функций для работы со строками и графиками и предназначена для решения как биоинформационических, так и других задач, где это может быть востребовано.
2. Данная библиотека целенаправленно реализована в заголовочном файле и без использования шаблонов, чтобы облегчить «порог вхождения».
3. Текущая версия реализации функции SubGraphsInscribed ориентирована более для работы с ориентированными графиками, хотя работает и с неориентированными. Для неориентированных графов этап III «Прореживание» на сегодняшний день пока реализован не полностью.
4. Для хранения графов в CBioInfCpp применены ранее предложенные автором структуры данных «Вектор смежности» и «Ассоциативный массив смежности» (подробнее см. [5]). Если кратко, то для невзвешенных графов вектор смежности представляет собой упорядоченный набор четного количества целых чисел ($a[2i]$, $a[2i+1], \dots$, где i нумеруется с 0), в котором каждая пара чисел $a[2i]$, $a[2i+1]$ задает ребро графа между вершинами $a[2i]$ и $a[2i+1]$ соответственно. Для взвешенных графов с целочисленными весами ребер «Вектор смежности» представляет собой набор триплетов, где каждое третье число задает вес ребра, а для взвешенных с нецелочисленными весами ребер – пару векторов (динамических массивов) целых чисел (задает ребра) и вещественных чисел (веса ребер). В «Ассоциативном массиве смежности» ключу – паре целых чисел, задающих ребро графа, – соответствует значение его веса (целочисленное либо вещественное) либо вектор (динамический массив) таких весов для случая множественных ребер. Также в векторах и ассоциативных массивах смежности, помимо весов ребер, можно хранить и другие их свойства, задаваемые числами.

Автор выражает надежду, что представленный алгоритм (как *полностью*, так и *его отдельные элементы*) может оказаться полезным как при решении различных практических задач, так и при *разработке новых алгоритмов решения задачи об изоморфном подграфе*. Автор будет рад дополнительно проверить представленный алгоритм на различных наборах исходных данных и поделиться результатами своих проверок.

Литература

1. Bonnici, V., Giugno, R., Pulvirenti, A. et al. A subgraph isomorphism algorithm and its application to biochemical data. BMC Bioinformatics 14, S13 (2013). <https://doi.org/10.1186/1471-2105-14-S7-S13>.
2. Cordella L, Foggia P, Sansone C, Vento M: A (Sub)Graph Isomorphism Algorithm for Matching Large Graphs. IEEE Transactions on Pattern Analysis and Machine Intelligence. 2004, 26 (10): 1367-1372. 10.1109/TPAMI.2004.75.
3. Ullmann Julian R.: An algorithm for Subgraph Isomorphism. Journal of the Association for Computing Machinery. 1976, 23: 31-42. 10.1145/321921.321925.
4. Ullmann Julian R.: Bit-vector algorithms for binary constraint satisfaction and subgraph isomorphism. J Exp Algorithms. 2011, 15 (1.6): 1.1-1.6. 1.64
5. Черноухов С.А. Вектор смежности и ассоциативный массив смежности как способы представления и хранения графов / S.A. Chernouhov. Adjacency vector and

adjacency map as data structures to represent a graph // Сборник статей Международной научно-практической конференции «Проблемы внедрения результатов инновационных разработок и пути их решения» (Саратов, 14.09.2019 г.). – Стерлитамак: АМИ, 2019, с. 65-69.

6. Репозиторий библиотеки CBioInfCpp (включая сопутствующую документацию):
<https://github.com/chernouhov/CBioInfCpp-0>